

# طراحی بهینه و بررسی عملکرد چرخه‌یی سیستم دوگانه قاب خمشی فولادی متوسط مجهز به مهاربند ضربدری دوطبقه‌یی کمانش تاب مرکزگرا

محمد رضا احمد پور خانلاه (دانشجوی دکتری)

اسماعیل محمدی ده چشممه (دانشجوی دکتری)

وحید بروجردیان \* (استادیار)

دانشکده‌ی مهندسی عمران، دانشگاه علم و صنعت ایران

در سال‌های اخیر، سیستم‌های باربر جانبی مرکزگرا به دلیل کاهش جابه‌جایی پسماند، مورد توجه پژوهشگران قرار گرفته‌اند. یکی از جدیدترین این نوع سیستم‌ها، مهاربند‌های مرکزگرا کمانش تاب هستند. در این تحقیق به بررسی عملکرد چرخه‌یی سازه‌یی طبقه با سیستم دوگانه‌یی مجهز به مهاربند کمانش تاب مرکزگرا با کابل پیش‌تینیده پرداخته شده است. با تعییر سه پارامتر مؤثر بر عملکرد مهاربند شامل تنش تسلیم هسته، میزان پیش‌تینیدگی و نسبت مساحت کابل به هسته کمانش تاب، ۶۲ مدل سازه‌یی در نرم‌افزار OpenSEES شبیه‌سازی شد. با در نظر گرفتن رفتار غیرخطی مصالح نمودار هیبت‌زیس سازه‌ها تحت بارگذاری چرخه‌یی، محاسبه و ترسیم شد.

طراحی بهینه برای این مدل‌ها بر اساس کمترین جابه‌جایی پسماند و بیشترین جذب انرژی ممکن انجام شد. در پایان با مقایسه‌یی که انجام شد، مشخص شد که سازه با مهاربند مرکزگرا بهینه در مقایسه با سازه با مهاربند کمانش تاب می‌تواند در ازای ۳۷ درصد کاهش ظرفیت جذب انرژی، ۶ درصد از جابه‌جایی پسماند سازه بگاهد.

**واژگان کلیدی:** سیستم مرکزگرا، فولاد، تعییر شکل پسماند، جذب انرژی، مهاربند کمانش تاب.

## ۱. مقدمه

### ۱.۱. پیشینه‌یی تحقیق

استفاده می‌شود. از ویژگی‌های سیستم‌های نوین مرکزگرا می‌توان به متمرکز کردن آسیب‌ها در فیوزهای جذب انرژی، تعویض پذیری اجزای جذب انرژی، کاهش اثرات نامطلوب P-Delta و کاهش آسیب در اجزای سازه‌یی و غیرسازه‌یی اشاره کرد.

مهاربند کمانش تاب مرکزگرا (SC-BRB) <sup>۱</sup> از ترکیب رفتار مهاربند کمانش تاب برای جذب انرژی و ایجاد سازوکار مرکزگرا بی‌کمک می‌گیرد. مهاربند‌های کمانش تاب اگر چه جذب انرژی مناسبی دارند، جابه‌جایی پسماند زیاد ایجاد شده در آنها باعث ایجاد لزوم ترکیب آنها با سیستم مرکزگرا شده است. اولین و مهم‌ترین مشخصه‌ی سیستم‌های مرکزگرا، سازوکار بازگردانندگی <sup>۲</sup> آن است که در ترکیب با عضوی که قابلیت استهلاک انرژی بالانسی دارد، رفتار چرخه‌یی پرچمی شکل <sup>۳</sup> را تولید می‌کند.<sup>[۱]</sup> در مجموعه از ترکیب آنها با سیستم مرکزگرا پیش‌تینیدگی و بازگردانندگی و ایجاد منحنی دوخطی کشسانی، استفاده از سازوکار پیش‌تینیدگی <sup>۴</sup> و بازشوندگی <sup>۵</sup> است. سازوکار مورد استفاده برای ایجاد نیروی بازگردانندگی <sup>۶</sup> در سازه‌های مهاربندی به نحوی است که با اعمال نیروی محوری بین اجزای هم محور مهاربند و صفحات فولادی فاصله ایجاد می‌شود و با

در دهه‌های اخیر، با توجه به زلزله‌های رخ داده در ایران و سایر نقاط جهان، مطالعه‌ی رفتار لرزه‌یی سازه‌ها بسیار مورد توجه بوده است. معمولاً سازوکار جذب و اتلاف انرژی در مقابل نیروهای لرزه‌یی، ورود به ناحیه‌ی غیرخطی رفتار مصالح است. با ورود اجزای سازه به ناحیه‌ی غیرخطی، طبعاً جابه‌جایی پسماند بعد از زلزله در سازه قابل مشاهده است. در نتیجه برای ترمیم سازه بعد از زلزله نیاز به حذف جابه‌جایی‌های پسماند است. با توجه به هزینه‌های زیاد حذف جابه‌جایی‌های پسماند و تعییر اجزای سازه، گاهی اوقات تصمیم به تخریب سازه گرفته می‌شود. در سال‌های اخیر، برای کاهش جابه‌جایی‌های پسماند و جذب انرژی ورودی ناشی از زلزله در سازه‌ها، سیستم‌های نوین لرزه‌یی با نام سیستم‌های مرکزگرا <sup>۱</sup> توسعه یافته‌اند. در سیستم‌های نوین مرکزگرا، برای جذب انرژی ورودی لرزه‌یی، از فیوزهای جذب انرژی و برای کاهش جابه‌جایی‌های پسماند، از کابل‌های پیش‌تینیده در سازه

\* نویسنده مسئول  
تاریخ: دریافت ۱۳۹۹/۳/۱۳، /صلاحیه ۱۳۹۹/۵/۱۹، پذیرش ۱۳۹۹/۷/۲۰.

اجزای مهاربند (ترکیب بهینه) که منجر به ایجاد کمترین جابه‌جایی پسماند در عین ایجاد کمترین کاهش ظرفیت جذب انرژی در سازه شود، ضروری به نظر می‌رسد. همچنین نیاز است تا مقایسه‌ی بین این سیستم نوین مرکزگرا با سیستم‌های سنتی پیشین انجام شود تا اهمیت استفاده از این سیستم بهتر درک شود.

## ۲.۱. هدف تحقیق

در این تحقیق به بررسی عملکرد سیستم دوگانه‌ی فولادی مجهز به مهاربند کمانش تاب مرکزگرا و طراحی بهینه‌ی آن پرداخته شده است. با هدف یافتن طرح بهینه این سیستم دریک قاب خمشی<sup>۹</sup> طبقه، یک مطالعه‌ی پارامتریک براساس خصوصیات مهاربند SC-BRB مورد نظر شامل میران پیش‌تئیدگی کابل‌های مهاربند، نسبت مساحت کابل به هسته‌ی جاری‌شونده مهاربند و تنش تسلیم هسته‌ی مهاربند انجام می‌شود. به این منظور از نرم افزار اجرای محدود OpenSEES استفاده می‌شود. به منظور صحبت‌سنجی فرایند مدل‌سازی عددی، از داده‌های آزمایشگاهی موجود استفاده می‌شود. برای نشان دادن مزایای سیستم طراحی شده‌ی بهینه، مهاربند BRB<sup>۱۰</sup> (یا کمانش تاب) و مهاربند SC-BRB با هم مقایسه می‌شوند.

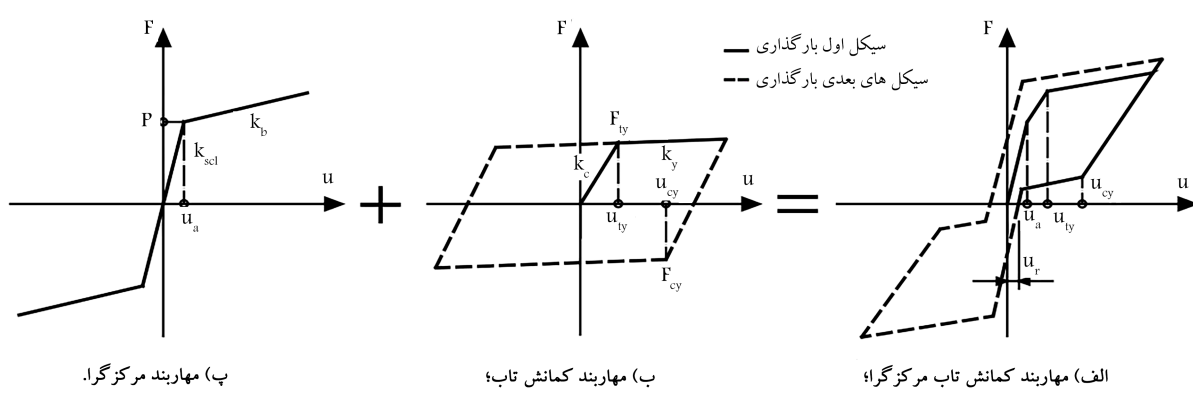
## ۲. روش تحقیق

### ۲.۱. معرفی سیستم مرکزگرای مورد استفاده

در صورتی که به صورت موازی از یک سازوکار بازشوندگی و پیش‌تئیدگی (مطابق نمودار هیسترزیس شکل ۱ - ب) و یک هسته‌ی کمانش تاب (مطابق نمودار هیسترزیس شکل ۱ - ب) استفاده شود، دو نمودار هیسترزیس مهاربند کمانش تاب و مهاربند مرکزگرا با هم ترکیب می‌شوند و نمودار هیسترزیس به صورت پرچمی شکل مطابق شکل ۱ - الف را تشکیل می‌دهند.

در این تحقیق از نوعی مهاربند مرکزگرا که در سال ۲۰۱۷ توسط ونگ و همکاران<sup>۱۱</sup> ابداع شده است، استفاده می‌شود. این سیستم که از ترکیب کابل‌های فولادی پیش‌تئیده با مهاربند کمانش تاب ساخته شده است، مطابق شکل ۲ از قطعات زیر تشکیل شده است:

۱. انتهای سمت راست ورق هسته به غلاف میانی جوش می‌شود، صفحات محدودکننده<sup>۱۲</sup> در تمام طول ورق هسته جوش می‌شوند و ورق انتهایی<sup>۱۳</sup> و ورق عرضی<sup>۱۴</sup> به انتهای غلاف میانی جوش می‌شوند.
۲. غلاف میانی و هسته در درون غلاف خارجی قرار می‌گیرند.



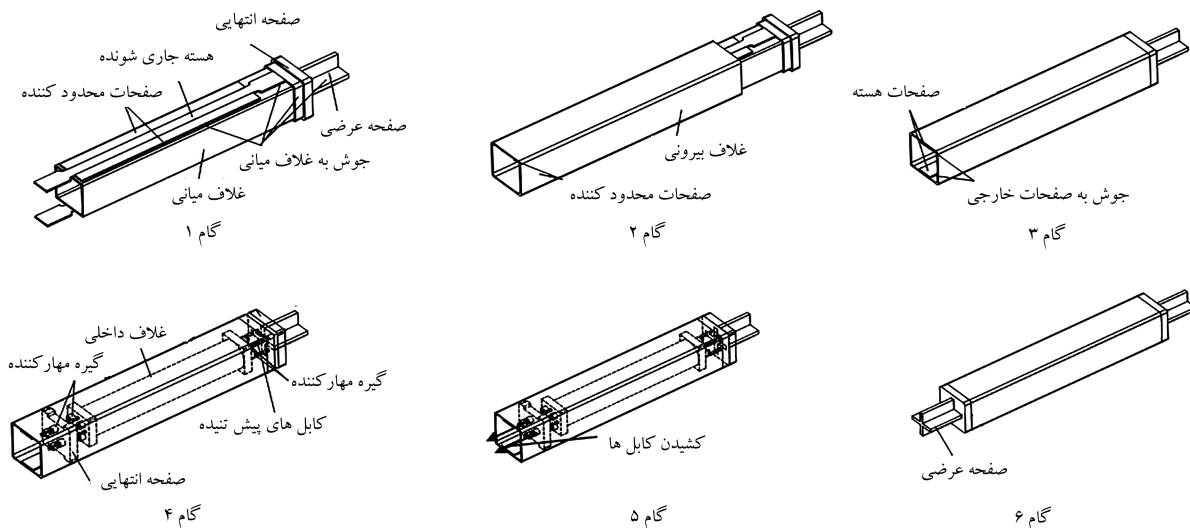
شکل ۱. نمودار هیسترزیس.<sup>[۱۴]</sup>

حذف نیروی جانبی، کابل‌های پیش‌تئیده که در طول مهاربند قرار دارند، اعضا را به حالت اولیه بر می‌گرداند.<sup>[۴]</sup>

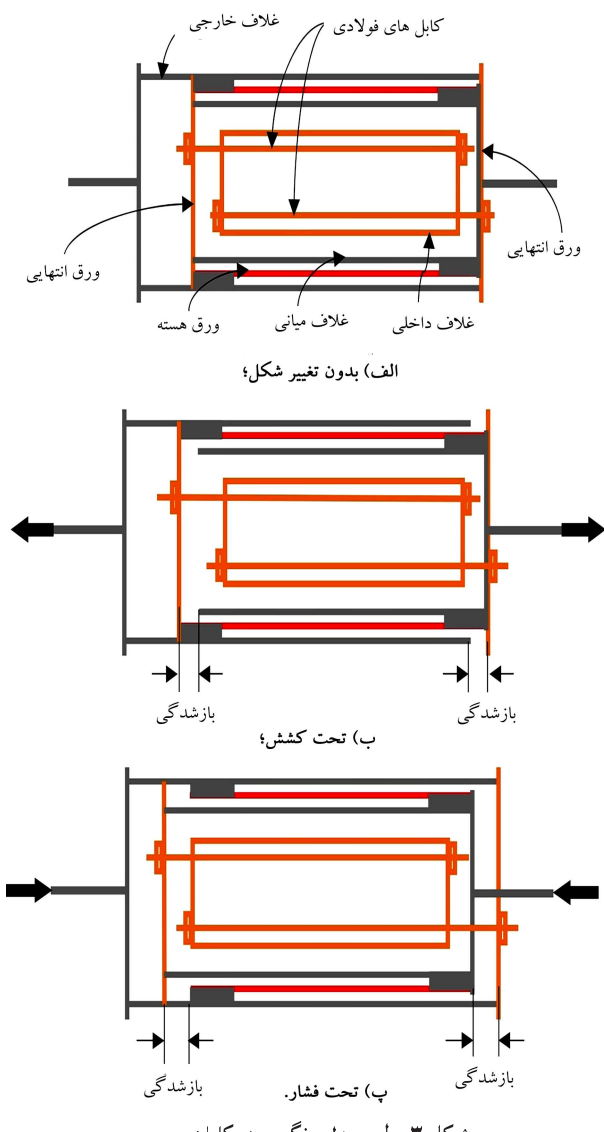
در سال ۲۰۱۲ میلادی همکاران به ارائه نوعی سیستم جدید مهاربند-SC-BRB پرداختند. در این مطالعه از آلیاژ حافظه‌دار شکلی (SMA)<sup>۸</sup> به عنوان عامل ایجاد مرکزگرایی و نیز به عنوان جاذب انرژی استفاده شده است. این آلیاژ علاوه بر جذب انرژی مناسب، جابه‌جایی پسماند سیار می‌دارد و در صورتی که بتوان آن را در فرایند تغییر طول مهاربند وارد کرد این خاصیت به مهاربند منتقل می‌شود.<sup>[۵]</sup> در تحقیقاتی در سال ۲۰۱۵ به جای آلیاژ حافظه‌دار از پلیمر مسلح شده با الیاف بازالت (BFRP)<sup>۹</sup> به عنوان کابل‌های پیش‌تئیده برای ایجاد خاصیت مرکزگرایی استفاده شد. بررسی‌های انجام شده نشان داد که این الیاف ظرفیت افزایش طول مناسبی دارد و برای استفاده به عنوان کابل<sup>۱۰</sup> داخل مهاربند کمانش تاب مرکزگرا مناسب است.<sup>[۶]</sup> لی و همکاران در سال ۲۰۱۸ نوع دیگری از مهاربند مرکزگرا با آلیاژ حافظه‌دار شکلی را ساختند و تحت بارگذاری چرخه‌ی و تحلیل تاریخچه‌ی زمانی قرار دادند و توانایی کاهش پاسخ سازه را ارزیابی کردند.<sup>[۷]</sup> شی و همکاران در سال ۲۰۱۹ تأثیر پارامترهای طراحی مهاربند مرکزگرا با آلیاژ حافظه‌دار شکلی بر عملکرد لرزه‌ی و فوریزش سازه را بررسی کردند.<sup>[۸]</sup> در سال ۲۰۱۹ کاری و همکاران به کمک آلیاژ SMA مدل مهاربند کمانش تاب مرکزگرای جدیدی را معرفی کردند.<sup>[۹]</sup>

در سال ۲۰۱۷ ونگ و همکاران مدلی را با استفاده از کابل‌های فولادی پیش‌تئیده<sup>۱۱</sup> ساختند که قابلیت اجرایی بالاتری داشت. در این تحقیق به مدل سازی این مدل پرداخته شده است و جزئیات این مهاربند در قسمت‌های بعدی به طور مفصل بیان شده است.<sup>[۱۰]</sup> دانگ و همکاران در سال ۲۰۱۷، زووه‌همکاران در سال ۲۰۱۹ و هوآنگ و همکاران در سال ۲۰۱۹ از ترکیب فنرهای دیسکی پیش‌تئیده با صفحات محدودکننده<sup>۱۲</sup> مهاربندهایی با خاصیت مرکزگرایی ساختند. همچنین دانگ و همکاران در سال ۲۰۱۹ عملکرد لرزه‌ی مهاربند مرکزگرای ابداعی ساخته شده با فنر دیسکی را بررسی کردند. استفاده از فنر دیسکی باعث می‌شد تا مراحل ساخت مهاربند در عمل ساده‌تر و اجرایی‌تر باشد. فنرهای دیسکی توانایی ایجاد نیروی پیش‌تئیدگی بالایی را دارند و کمتر دچار زوال نیروی پیش‌تئیدگی ناشی از تغییر طول می‌شوند. به همین دلیل کنترل بسیار مناسبی بر جابه‌جایی پسماند دارند.<sup>[۱۱-۱۵]</sup>

همان طور که مشاهده شد بیشتر تحقیقات انجام شده در سال‌های اخیر به دنبال ابداع روش‌های متنوع برای ساخت مهاربند با خاصیت مرکزگرایی بوده‌اند. اما کمربود بررسی‌های بیشتر بر روی این مهاربندها از جمله بررسی برای یافتن ترکیب مناسب



شکل ۲. اجزای مهاربند مرکزگرای مورد استفاده در تحقیق حاضر.<sup>[۱۰]</sup>



شکل ۳. طرح مدل نگ و همکاران.

۳. غلاف میانی داخل غلاف خارجی قرار می‌گیرد تا جایی که انتهای غلاف میانی به اجرای انتهایی هسته<sup>۱۷</sup> برسد و سپس انتهای سمت چپ هسته به دیواره داخلی غلاف بیرونی جوش می‌شود.

۴. کابل‌های فولادی از غلاف داخلی عبور می‌کنند: چهار کابل به یک سمت بسته<sup>۱۸</sup> می‌شوند، سپس غلاف داخلی درون غلاف میانی قرار می‌گیرد و چهار کابل فولادی دیگر در سمت دیگر غلاف داخلی به کمک صفحه انتهایی<sup>۱۹</sup> بسته می‌شود. سپس چهار کابل فولادی قبلی به صفحه‌ی انتهایی دیگر بسته می‌شوند.

۵. کابل‌ها از یک سمت پیش تینیده می‌شوند تا به سطح پیش تینیدگی طراحی برسند.

۶. صفحه‌ی انتهایی و صفحه‌ی عرضی به مهاربند جوش می‌شوند.

غلاف‌های میانی و خارجی سیستم SC-BRB دو کارکرد دارند: کارکرد اول برای سیستم BRB است که غلاف میانی و خارجی هنگام فشار از کمانش هسته جلوگیری می‌کنند. کارکرد دوم برای سیستم SC-BRB است به این صورت که با حرکت غلاف‌ها نسبت به یکدیگر طول کابل فولادی پیش تینیده بیشتر می‌شود و پس از آن که نیروهای خارجی برداشته می‌شوند، کابل‌های پیش تینیده مهاربند را به موقعیت اولیه برمی‌گردانند. برای توضیح بیشتر نحوه جذب انرژی و ظرفیت مرکزگرایی مهاربند SC-BRB، عملکرد آن تحت کشش و فشار در شکل ۳ نشان داده شده است. اجزای اصلی در شکل ۳ - الف قبل از اعمال کشش و فشار مشاهده می‌شوند. هنگامی که مهاربند تحت کشش قرار می‌گیرد، غلاف میانی صفحه‌ی انتهایی سمت راست را از غلاف بیرونی خارج می‌کند. (شکل ۳ - ب) این در حالی است که صفحه‌ی انتهایی سمت چپ به وسیله بخش‌های انتهایی هسته ثابت باقی می‌ماند و از غلاف میانی فاصله می‌گیرد. بنابراین دو بازشدگی شکل می‌گیرند. در همین حین هسته تا حد جاری شدن افزایش طول پیدا می‌کند و جذب انرژی اتفاق می‌افتد. همچنین فاصله‌ی بین دو صفحه‌ی انتهایی افزایش پیدا می‌کند و باعث کشیده شدن کابل‌های پیش تینیده می‌شود. هنگامی که کشش برداشته شود کابل‌های پیش تینیده به طول اولیه بازمی‌گردند و باعث مرکزگرایی مهاربند می‌شوند. شکل ۳ - ب - سازوکار فشاری را نمایش می‌دهد.

در شکل ۴ در مقاطع عرضی مهاربند پیشنهادی ونگ و همکاران مشاهده می‌شود.

رفتار هسته‌ی کمانش تاب پس از مرحله‌ی جاری شدن تعیین می‌شوند که تقریباً در تمام انواع مهاربند‌های کمانش تابی که تا به حال آزمایش شده‌اند، ثابت است.<sup>[۵]</sup> در این تحقیق مقادیر نرمال  $\beta$  برابر با  $1/2$  و مقادیر  $\omega$  برابر با  $1/35$  در نظر گرفته شد.

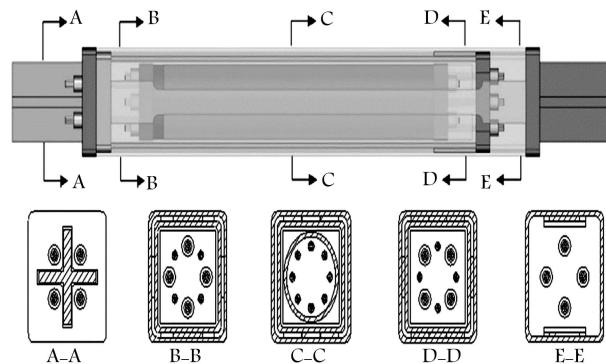
### ۳.۲. مشخصات مدل‌های عددی

در این تحقیق رفتار سیستم دوگانه با شکل پذیری متوسط مجهر به مهاربند SC-BRB مورد بررسی قرار گرفته است. برای این منظور یک ساختمان ۹ طبقه با قاب‌های پیرامونی سیستم دوگانه‌ی SC-BRB با ۳ دهانه به طول ۵ متر در دو جهت افقی  $x$  و  $y$  به روش حالت حدی ضربی بار و مقاومت و تحلیل استاتیکی معادل و بر اساس مبحث دهم مقررات ملی ساختمان<sup>[۱۷]</sup> آین نامه‌ی AISC-۳۴۱<sup>[۱۶]</sup>، آین نامه‌ی ۲۸۰۰<sup>[۱۸]</sup>، مبحث ششم مقررات ملی ساختمان<sup>[۱۹]</sup> و آین نامه‌ی ASCE-۷<sup>[۲۰]</sup> و به کمک نرم‌افزار ETABS ۲۰۱۶ طراحی شد. در محاسبه‌ی پارامترهای لرزه‌ی، منطقه برای شهر تهران با خطرپذیری نسبی خیلی زیاد و خاک نوع ۲ با کاربری ساختمان مسکونی در نظر گرفته شد. در سازه‌ی طراحی شده، سقف سازه از نوع کامپوزیت، بار مرده‌ی کفسازی اسکلت و دال برابر با  $740$  کیلوگرم بر متر مربع، بار زنده  $200$  کیلوگرم بر متر مربع و بار تیغه‌بندی  $100$  کیلوگرم بر متر مربع است. ضربی رفتار طراحی برای سیستم‌های قاب خمی همراه با مهاربند کمانش تاب مطابق آین نامه‌ی ASCE-۷<sup>[۲۰]</sup> برابر  $8$  در نظر گرفته شد. کنترل لازم برای آن که دریفت غیرخطی طراحی از حد مجاز آین نامه‌ی (دو درصد) بیشتر نشود، انجام شده است. همچنین ضوابط طراحی سیستم با شکل پذیری متوسط در نظر گرفته شده است.

مقاطع طراحی برای این ساختمان در جدول ۱ نشان داده شده است. شکل‌های ۵ تا ۷ به ترتیب نمای سه‌بعدی، نمای دو بعدی و پلان ساختمان ۹ طبقه‌ی طراحی شده در نرم‌افزار را نشان می‌دهد. همان طور که از پلان سازه‌ی مورد نظر مشخص است، قاب‌های میانی در این سازه قاب‌های بار بر قابلی اند. ارتفاع طبقات برابر با  $3/2$  متر است. برای تعیین پارامترهای طراحی بهینه، ظرفیت مهاربند مرکزگرا با ظرفیت سیستم مهاربند کمانش تاب طراحی شده برای ساختمان ۹ طبقه، معادل سازی

جدول ۱. مقاطع اعضای سازه مورد بررسی ( واحد میلی متر).

طبقات			اعضا
۹-۷	۶-۴	۳-۱	
IPB۲۲۰	IPB۳۰۰	IPB۴۵۰	ستون گوشه
IPB۲۴۰	IPB۳۶۰	IPB۶۰۰	ستون پیرامونی
IPB۲۲۰	IPB۳۰۰	IPB۴۵۰	ستون میانی
IPE۳۰۰	IPE۳۳۰	IPE۴۰۰	تیر پیرامونی
IPE۳۰۰	IPE۳۰۰	IPE۳۰۰	تیر میانی
۱۶۱۲	۲۲۵۸	۳۵۴۸	مساحت هسته‌ی (میلی متر مربع)



شکل ۴. مقاطع مختلف مهاربند پیشنهادی و نگ و همکاران.<sup>[۱۰]</sup>

### ۲.۲. معرفی روش طراحی

بر اساس ضوابط آین نامه‌ی AISC-۳۴۱، مقاومت طراحی باید معادله‌ی زیر را راضا کند:<sup>[۱۶]</sup>

$$\phi P_n \geq P_u \quad (1)$$

که در آن  $\phi P_n$  مقاومت طراحی مهاربند و  $P_u$  نیروی وارد به مهاربند در حالت حدی نهایی است. در مهاربند مرکزگرا، مقاومت طراحی برابر مجموع نیروی تسیلیم  $p_i$ -strand،  $P_{ysc}$  و نیروی پیش‌تییدگی در کابل‌های فولادی<sup>[۸]</sup> است. پس:

$$\phi P_n = \phi(P_{ysc} + P_{i-strand}) = ۰/۹(F_{ysc}A_{sc} + F_{i-strand}A_{strand}) \quad (2)$$

که در آن  $F_{ysc}$  تنش تسیلیم هسته‌ی فولادی،  $A_{sc}$  سطح مقطع هسته‌ی فولادی،  $A_{strand}$  سطح مقطع کل کابل‌های فولادی،  $F_{i-strand}$  نیروی پیش‌تییدگی کابل فولادی و  $\phi$  ضربی کاهش مقاومت برابر با  $0/9$  در رکشش و فشار است. رفتار مرکزگرایی مهاربند تابعی از نسبت بین نیروی کابل‌های پیش‌تییده و نیروی کرنش سخت‌شوندگی هسته‌ی فولادی مهاربند است که بر اساس AISC-۳۴۱ مطابق رابطه‌ی زیر بیان می‌شود:

$$\alpha_{sc} = \frac{F_{i-strand}A_{strand}}{\beta\omega F_{ysc}A_{sc}} \quad (3)$$

ضریب  $\beta$  مربوط به مقاومت فشاری هسته‌ی فولادی، ضربی  $\omega$  مربوط به کرنش سخت‌شوندگی فولاد و  $\alpha_{sc}$  ضریبی است که نسبت بین دو نیرو را بیان می‌کند. با جایگذاری رابطه‌ی ۳ در روابط ۱ و ۲، سطح مقطع هسته‌ی فولادی و کابل‌ها به صورت زیر محاسبه می‌شود:

$$A_{sc} = \frac{P_u}{\phi F_{ysc}(1 + \alpha_{sc}\beta\omega)} \quad (4)$$

$$A_{strand} = \frac{\alpha_{sc}\beta\omega F_{ysc}A_{sc}}{F_{i-strand}} \quad (5)$$

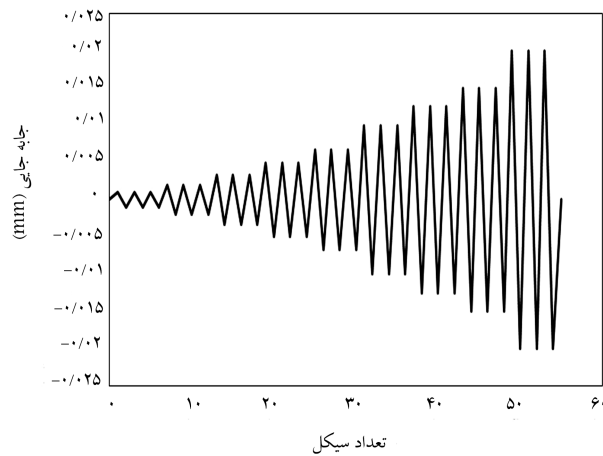
ضریب  $\alpha_{sc}$  در واقع پارامتری است که جدایش بین نیروی پیش‌تییدگی ابتدایی کابل و سخت‌شوندگی هسته کمانش تاب را مشخص می‌کند. ضربی  $\beta$  ضربی اصلاح مقاومت فشاری هسته کمانش تاب و  $\omega$  ضربی تصحیح کرنش سخت‌شوندگی برای هسته کمانش تاب است. ضربی  $\beta$  و  $\omega$  مطابق آین نامه‌ی فولاد آمریکا بر اساس منحنی تنش - کرنش هسته‌ی فولادی به دست می‌آیند. مقادیر  $\beta$  و  $\omega$  بر اساس

می شود، سپس با استفاده از ظرفیت به دست آمده و به کمک روابط ۴ و ۵ با فرض نسبت های مختلف مساحت کابل پیش تبیه به مساحت هسته کمانش تاب، تنش تسلیم هسته و مقدار نیروی پیش تبیه کابل، مقادیر مساحت هسته و کابل به دست می آید. پارامترهای مورد بررسی در این تحقیق، پیش تبیه کابل های مهاربند، نسبت مساحت کابل به هسته جاری شونده مهاربند و تنش تسلیم هسته مهاربند هستند. تنش تسلیم هسته ۲۴۰ و ۳۶۰ مگا پاسکال، نسبت نیروی پیش تبیه کابل در کابل ها به مقاومت تسلیم ( $R_I$ ) برابر با ۱/۱، ۰/۲، ۰/۳، ۰/۴ و ۰/۵ و نسبت مساحت کابل به هسته جاری شونده مهاربند ( $R_A$ ) برابر با ۰/۲۵، ۰/۵، ۱، ۰/۵، ۲/۵، ۵ و  $\infty$  در نظر گرفته شده است. با در نظر گیری این پارامترها در مجموع ۶۲ مدل سازی با مهاربند های متفاوت بررسی می شود.

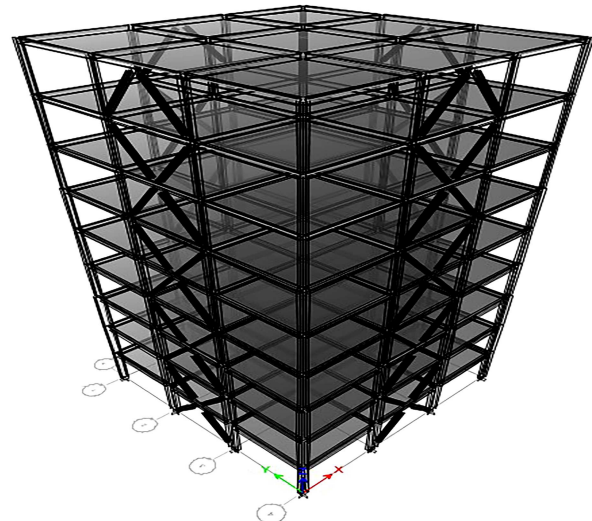
برای تعیین حالت بهینه سیستم دوگانه مجهرز به مهاربند SC-BRB با مشخصات مختلف، سازه هی تحت بارگذاری چرخه بی استاتیکی با توزیع مشابی و تحت الگوی مرجع [۱۰] قرار می گیرد. برای محاسبه رفتار غیرخطی مدل ها از نرم افزار OpenSEES استفاده می شود. مدل سازی در این نرم افزار به صورت دو بعدی انجام شده است و برای در نظر گیری اثر پی دلتای بارهای ثقلی یک ستون تک به کشنده  $^{\circ}$  با اتصالات مفصلی به یک سمت سازه هی دو بعدی مدل شده اضافه می شود. از تغییر شکل های چشممه ای اتصال در سیستم جلوگیری شده است و مدل سازی چشممه ای اتصال به صورت صلب فرض شده است. برای مدل سازی تیرها و ستون ها از مصالح ۰/۲ Steel و برای مدل سازی پیش تبیه کاب در مهاربند از مصالح Ma-Init Stress terial استفاده شده است. همچنین برای آن که مهاربند ها لنگر و برش تحمل نکنند از جزء Truss در مدل سازی آنها استفاده شد. با استفاده از نتایج تحلیل ها، برای تمام مدل های بیشینه کرنش ماندگار (محل برخورد چرخه ای آخر منحنی هیسترزیس با محور طولی) و بیشینه میزان استهلاک انرژی (مساحت داخلی منحنی هیسترزیس مدل ها) استخراج می شوند. حالت بهینه حالتی است که علاوه بر کاهش مؤثر جابه جایی پسماند، جذب انرژی قابل قبولی نیز داشته باشد.

#### ۴.۲. صحبت سنجی روند مدل سازی عددی

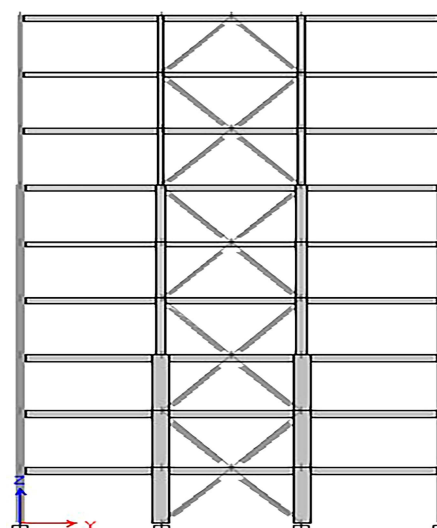
در این قسمت با استفاده از نتایج آزمایشگاهی [۱۰] یک نمونه مهاربند مرکزگرا، روند مدل سازی عددی مورد استفاده در نرم افزار OpenSEES صحبت سنجی می شود. در شکل ۸ الگوی بارگذاری وارد به مهاربند را در آزمایش نشان می دهد. هر نمونه



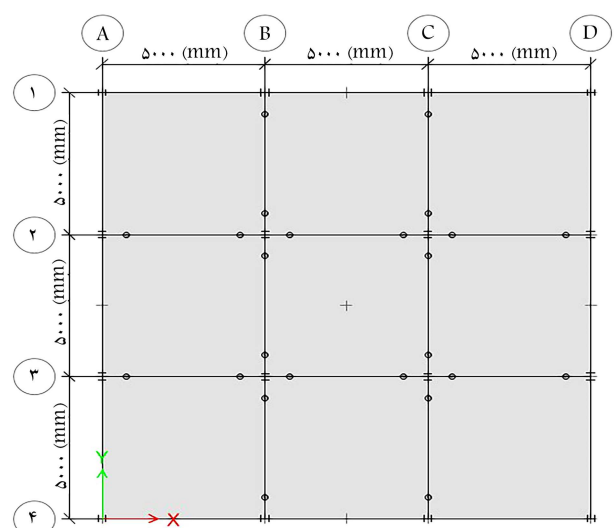
شکل ۸. الگوی بارگذاری وارد به مهاربند. [۱۰]



شکل ۵. نمای سه بعدی قاب طراحی شده در نرم افزار ETABS



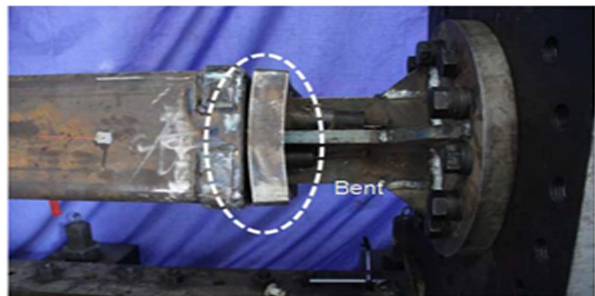
شکل ۶. نمای قاب طراحی شده در نرم افزار ETABS



شکل ۷. پلان قاب طراحی شده در نرم افزار ETABS



الف) خمیدگی ورق انتهایی<sup>۴</sup>



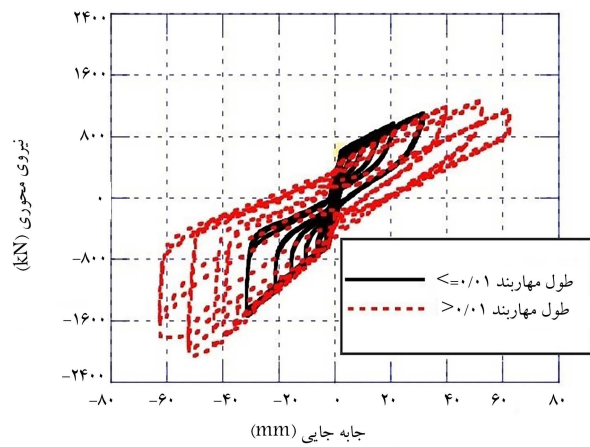
ب) برآمدگی غلاف خارجی.

شکل ۱۱. تغییر شکل های نمونه تحت آزمایش.<sup>[۱۰]</sup>

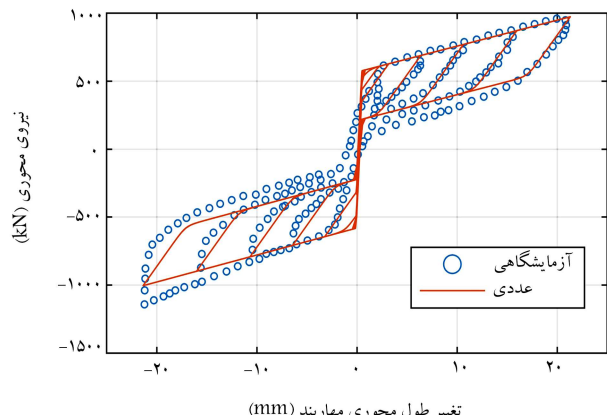
صرف نظر شده است. در چرخه‌ی آخر بارگذاری مطابق شکل ۱۱ - الف نیروی پیش‌تینیدگی کابل‌ها باعث خمیدگی ورق‌های انتهایی می‌شود و مطابق شکل ۱۱ - ب غلاف بیرونی دچار برآمدگی می‌شود؛ چراکه غلاف بیرونی و میانی در آزمایش به اندازه‌ی کافی سخت نبودند تا بتوانند جلوی کمانش هسته را بگیرند (به خصوص هنگامی که هسته با قسمت میانی غلاف تماس پیدا می‌کرد). سه عامل برآمدگی غلاف‌ها، خمیدگی ورق‌های انتهایی و جاری شدن کابل در چرخه‌ی آخر سبب نزدیک شدن دو سر کابل و در نتیجه از بین رفت‌نیروی پیش‌تینیدگی می‌شود. این مسئله باعث کاهش خاصیت مرکزگرایی، افزایش جابه‌جایی پسماند و افت نمودار در چرخه‌ی آخر است و اختلاف اندک بین مدل‌سازی و آزمایش از این جا ناشی می‌شود که در جهت اطمینان به دلیل جذب انرژی کمتر در مدل‌سازی عددی می‌توان از این اختلاف چشم‌پوشی کرد. باید در نظر داشت که طراحی به گونه‌ی باشد تا از برآمدگی غلاف‌ها، خمیدگی ورق‌های انتهایی و حتی جاری شدن کابل‌ها پیش‌تینیده جلوگیری شود.

### ۳. نتایج تحقیق و بحث در نتایج

شکل‌های ۱۲ تا ۱۴ سه نمونه از نمودارهای هیسترزیس سازه با تنش تسلیم هسته مهاربند ۲۴۰ مکاپسکال را نشان می‌دهد. مقدار نسبت مساحت کابل به هسته ( $R_A$ ) و نسبت تنش پیش‌تینیدگی ( $R_I$ ) به تنش جاری شدن کابل در شکل ۱۲ به ترتیب برابر  $0.25 \pm 0.01$ ، در شکل ۱۳ برابر ۱ و  $0.3 \pm 0.05$  و در شکل ۱۴ برابر ۵ است. انتظار می‌رود که با افزایش نسبت مساحت کابل به هسته و افزایش پیش‌تینیدگی، مساحت داخل نمودار هیسترزیس کاهش یابد و در مقابل منحنی محور افقی را در اعداد پایین‌تری قطع کند که نشان‌دهنده‌ی کاهش جابه‌جایی پسماند است. نتایج مدل‌سازی‌ها که در شکل‌های ۱۲ تا ۱۴ به عنوان نمونه اورده شده‌اند، مؤید این ادعاست.



شکل ۹. منحنی هیسترزیس مهاربند مرکزگرای آزمایش شده.<sup>[۱۰]</sup>

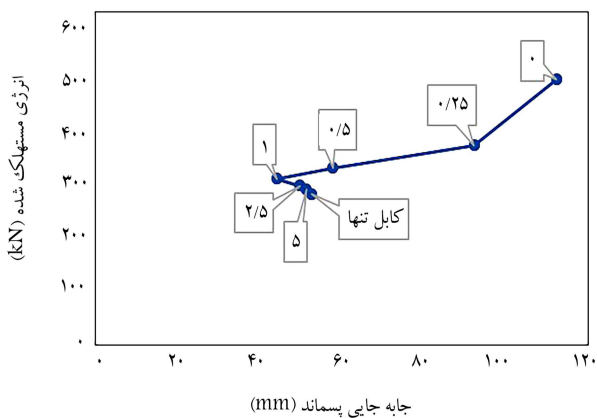


شکل ۱۰. مقایسه‌ی نمودار آزمایشگاهی<sup>[۱۰]</sup> و عددی نیرو - جابه‌جایی مهاربند مرکزگرای.

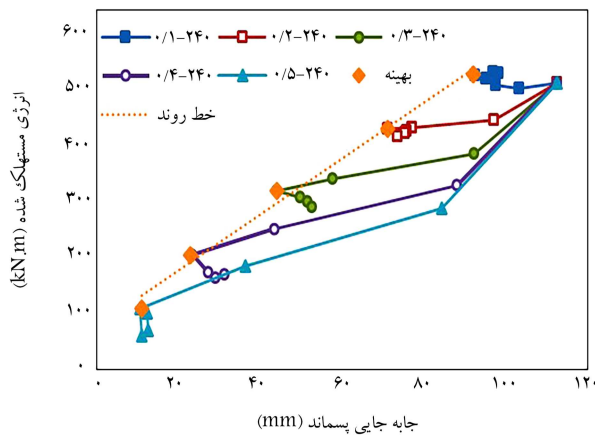
طبقاً این الگو بارگذاری شده است. بارگذاری به صورت جابه‌جایی محور بوده و هر جابه‌جایی به صورت سه چرخه‌ی رفت و برگشتی انجام شده است. مقدار هر جابه‌جایی از حاصل ضرب مقادیر طرفی بارگذاری در شکل ۸ در طول مهاربند به دست می‌آید.

شکل ۹ منحنی هیسترزیس مهاربند مورد آزمایش را نشان می‌دهد. مطابق این شکل پس از جابه‌جایی‌های  $1/10^0$  طول  $322$  میلی‌متر، کابل‌های فولادی گسیخته می‌شود و خاصیت مرکزگرایی از بین می‌رود. از طرفی در جابه‌جایی  $1/15^0$  طول  $211$  میلی‌متر، کابل فولادی گسیخته نمی‌شود، اما به حد جاری شدن می‌رسد و این امر باعث کاهش نیروی پیش‌تینیدگی و در نتیجه کاهش خاصیت مرکزگرایی می‌شود. بنابراین جابه‌جایی  $1/15^0$  معيار مهاربند برای ایجاد رفتار مرکزگرایی مناسب است. چون جابه‌جایی  $1/15^0$  مهاربند علاوه بر جذب انرژی بالا جابه‌جایی پسماند بسیار کمی داشته است.

شکل ۱۰ منحنی نیرو - جابه‌جایی کل مهاربند را برای مدل آزمایشگاهی و مدل نرم افزاری نشان می‌دهد. نتایج نشانگر تطابق مناسب مدل آزمایشگاهی و عددی به خصوص در کشش است. هنگامی که مهاربند فشرده می‌شود اصطکاک بین هسته و غلاف‌ها باعث افزایش طرفیت باربری فشاری نسبت به ظرفیت باربری کششی می‌شود و از طرفی این اصطکاک باعث جذب انرژی بالاتر می‌شود و مساحت محصور داخل نمودار را افزایش می‌دهد که در مدل‌سازی عددی در جهت اطمینان از این استهلاک انرژی ناشی از اصطکاک بین دو عضو در هنگام فشار



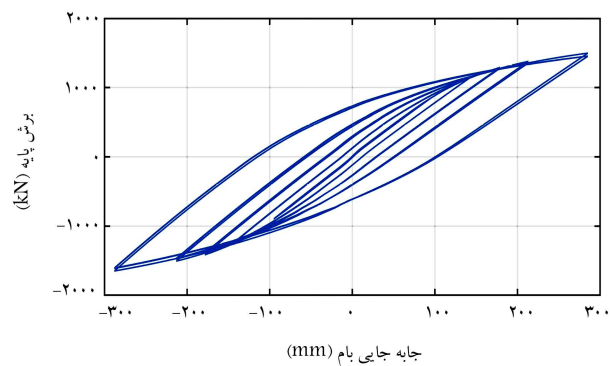
شکل ۱۵. نمودار جذب انرژی - جایه جایی پسماند برای تنش تسلیم  $240$  مگاپاسکال، نسبت پیش‌تنیدگی  $۰/۳$  و نسبت مساحت‌های مختلف.



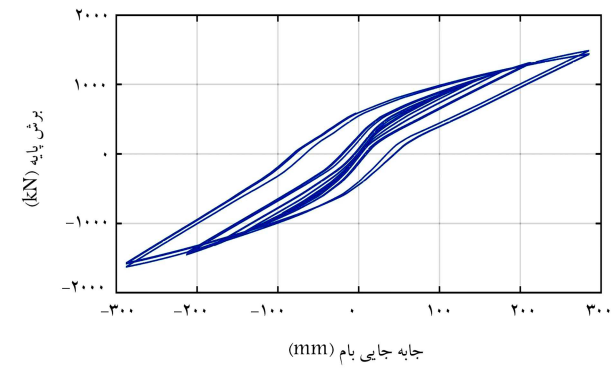
شکل ۱۶. نمودار جذب انرژی - جایه جایی پسماند برای تنش تسلیم  $240$  مگاپاسکال، نسبت پیش‌تنیدگی‌های مختلف و نسبت مساحت‌های مختلف.

خواهد داشت تا جایی که بعد از نسبت مساحت  $1$  جایه جایی پسماند نه تنها کاهش نمی‌یابد، بلکه افزایش نسبت مساحت باعث افزایش جایه جایی پسماند می‌شود. علت این پدیده را می‌توان در افزایش نیروی پیش‌تنیدگی به علت افزایش مساحت کابل‌ها جستجو کرد. با افزایش نسبت مساحت کابل به هسته، مساحت کابل‌ها و در نتیجه مقدار نیروی پیش‌تنیدگی افزایش می‌یابد و همین نیروی پیش‌تنیدگی زیاد می‌تواند به خودی خود منجر به ایجاد غیربرگشتی کابل‌های پسماند در سازه شود. پس نسبت مساحت  $1$  در این نسبت پیش‌تنیدگی حالت بهینه خواهد بود؛ زیرا با افزایش نسبت مساحت به جایه جایی پسماند افزوده می‌شود و با کاهش آن از مقدار  $1$ ، جذب انرژی درازای جاری شدن هسته اتفاق می‌افتد و از حالت بهینه فاصله می‌گیرد.

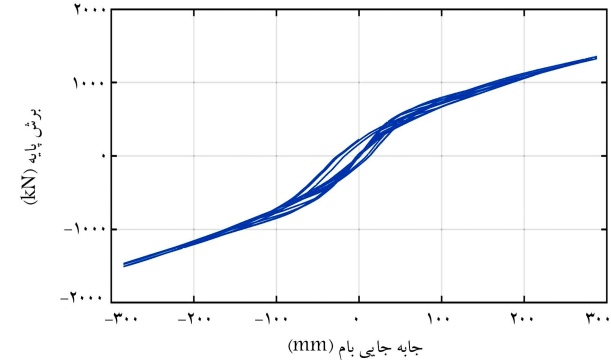
در شکل ۱۶ نمودار جذب انرژی - جایه جایی پسماند برای تنش تسلیم  $240$  مگاپاسکال، نسبت پیش‌تنیدگی‌های مختلف و نسبت مساحت‌های مختلف رسم شده است. نسبت مساحت‌های کابل به هسته مانند شکل ۱۵ به ترتیب از کمترین مقدار در انتهای راست نمودار تا بیشترین مقدار در انتهای دیگر به ترتیب قرار گرفته‌اند. مقادیر بهینه بر روی شکل مشخص شده‌اند. همان طور که دیده می‌شود با افزایش مقدار پیش‌تنیدگی خاصیت مرکزگرایی افزایش می‌یابد و تأثیر تغییرات نسبت مساحت بر روی نمودار بیشتر می‌شود، یعنی دامنه‌ی تغییرات نمودار در نسبت پیش‌تنیدگی‌های بالاتر، بیشتر است. حال، برای تعیین حالت بهینه بین تمام نسبت‌های پیش‌تنیدگی، از میان حالات بهینه‌ی نسبت مساحت‌ها یک خط برآش داده شد و نقطه‌ی که بیشترین



شکل ۱۲. منحنی هیسترزیس سازه با مهاربند با نسبت مساحت  $۰/۲۵$  و نسبت پیش‌تنیدگی  $۰/۱$ .



شکل ۱۳. منحنی هیسترزیس سازه با مهاربند با نسبت مساحت  $۱$  و نسبت پیش‌تنیدگی  $۰/۳$ .



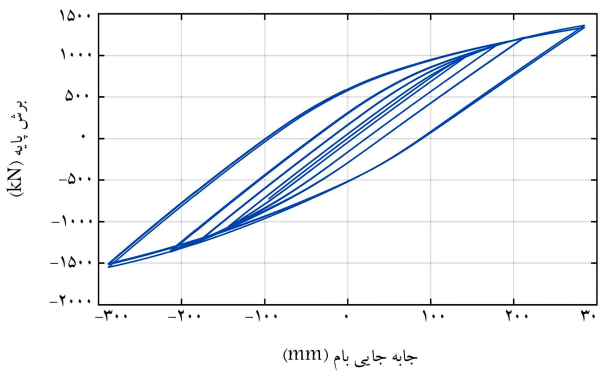
شکل ۱۴. منحنی هیسترزیس سازه با مهاربند با نسبت مساحت  $۵$  و نسبت پیش‌تنیدگی  $۰/۵$ .

### ۱.۳. تعیین پارامترهای طرح بهینه

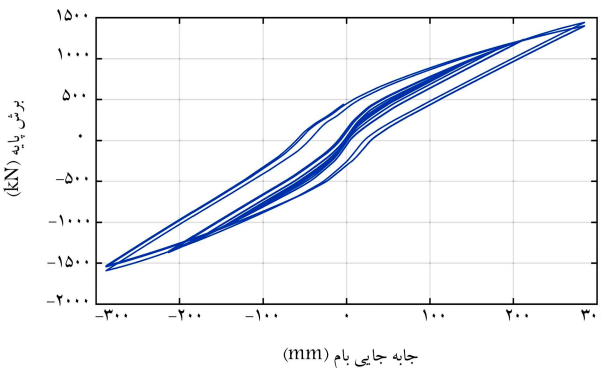
پس از مدل‌سازی و استخراج نتایج نمودار جذب انرژی - جایه جایی پسماند برای تمام نسبت مساحت‌ها ( $R_A$ ‌ها)، تمام نسبت‌های پیش‌تنیدگی ( $R_I$ ) و دو نسبت تنش تسلیم هسته رسم شد. در شکل ۱۵ یکی از این نمودارها برای نسبت پیش‌تنیدگی  $۰/۳$  و تنش جاری شدن  $240$  مشاهده می‌شود. باید دقت شود که نسبت مساحت ( $R_A$ ) بی‌نهایت به معنای استفاده از کابل تنها بدون هسته‌ی کماش تاب است. مطابق شکل ۱۵ نسبت مساحت صفر (که نشان‌دهنده‌ی مهاربند کماش تاب بدون کابل است) بیشترین جذب انرژی و الیه بالاترین مقدار جایه جایی پسماند را دارد؛ هر چه از نسبت مساحت کاسته می‌شود سازه جایه جایی پسماند و جذب انرژی کمتری

به مهاربند با تنش تسلیم  $360^{\circ}$  نسبت پیش‌تینیدگی  $0/3$  و نسبت مساحت ۱ است. حال، خصوصیات سازه در حالتی که با مهاربند کمانشتاب مرکزگرای بهینه شده طراحی شده باشد و حالتی که طراحی با مهاربند کمانشتاب باشد، مقایسه خواهد شد. باید توجه داشت که ظرفیت نیروی طراحی مهاربند مرکزگرا و مهاربند کمانشتاب در هر دو سازه یکسان فرض شده است. در جدول ۳ مهاربند کمانشتاب مرکزگرا در حالت بهینه با مهاربند کمانشتاب مقایسه شده است. مشاهده می‌شود که در حالت بهینه مهاربند توانسته  $60^{\circ}$  درصد از جابه‌جایی پسماند سازه بکاهد، درحالی‌که جذب انرژی فقط  $37^{\circ}$  درصد کاهش داشته است.

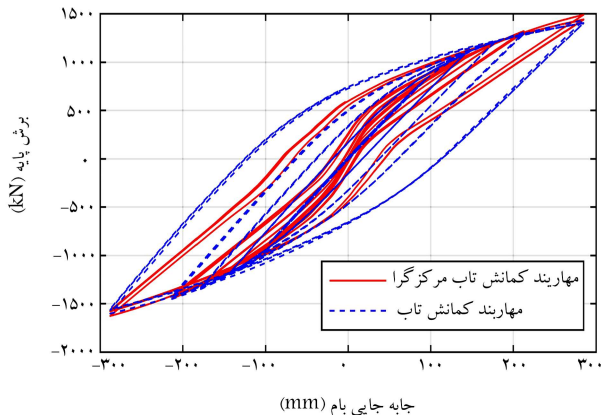
در شکل‌های ۱۸ و ۱۹ به ترتیب نمودار بر پایه - جابه‌جایی مهاربند کمانشتاب



شکل ۱۸. نمودار بر پایه - جابه‌جایی سازه با مهاربند کمانشتاب.



شکل ۱۹. نمودار بر پایه - جابه‌جایی سازه با مهاربند کمانشتاب مرکزگرا.

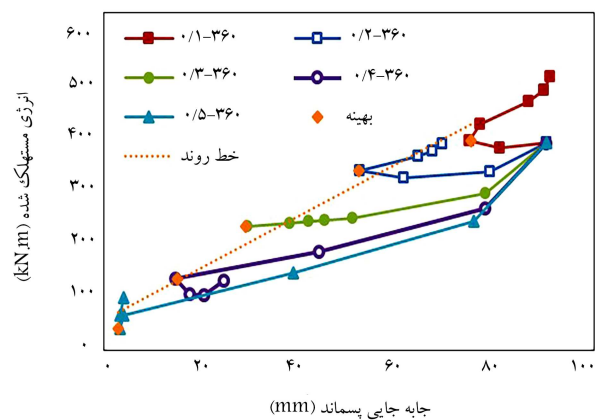


شکل ۲۰. مقایسه نمودار بر پایه - جابه‌جایی سازه با مهاربند کمانشتاب مرکزگرا و سازه با مهاربند کمانشتاب.

فاصله را از این خط دارد، به عنوان نقطه‌ی بهینه انتخاب شد. این نقطه برای تنش تسلیم  $240^{\circ}$  مگاپاسکال، نسبت پیش‌تینیدگی  $0/3$  و نسبت مساحت ۱ را به دست می‌دهد. به طریق مشابه برای تنش تسلیم  $360^{\circ}$  مگاپاسکال، حالت بهینه‌ی انتخاب شد که نشان‌دهنده‌ی نسبت پیش‌تینیدگی  $0/3$  و نسبت مساحت ۱ است (شکل ۱۷). در جدول ۲ مقدار جذب انرژی و جابه‌جایی پسماند دو حالت بهینه یکی با تنش تسلیم  $240^{\circ}$  و  $360^{\circ}$  دیگری با تنش تسلیم  $360^{\circ}$  مگاپاسکال نشان داده شده است.

## ۲.۳ مقایسه مهاربندهای BRB و SC-BRB در سیستم‌های دوگانه

با توجه به نتایج تشریح شده در بخش ۱-۳ مشخص شد که بهترین عملکرد مربوط



شکل ۱۷. نمودار جذب انرژی - جابه‌جایی پسماند برای تنش تسلیم  $360^{\circ}$  مگاپاسکال، نسبت پیش‌تینیدگی‌های مختلف و نسبت مساحت‌های مختلف.

جدول ۲. جذب انرژی و جابه‌جایی پسماند برای تنش تسلیم  $240^{\circ}$  و  $360^{\circ}$  مگاپاسکال در حالت بهینه.

مدل	۴۷	۱۶
تشن تسلیم هسته (مگاپاسکال)	$240^{\circ}$	$360^{\circ}$
نسبت پیش‌تینیدگی	$0/3$	$0/3$
نسبت مساحت کابل به هسته	۱	۱
جابه‌جایی پسماند (میلی‌متر)	۴۴	۲۹
جذب انرژی (کیلوانیون متر)	۳۲۲	۲۲۸

جدول ۳. درصد کاهش جذب انرژی و جابه‌جایی پسماند مهاربند در حالت بهینه نسبت به مهاربند کمانشتاب.

مدل	۱۶	۱
تشن تسلیم (مگاپاسکال)	$240^{\circ}$	$240^{\circ}$
نسبت پیش‌تینیدگی	-	$0/3$
نسبت مساحت کابل به هسته	۰	۱
جابه‌جایی پسماند (میلی‌متر)	۱۱۲	۴۴
جذب انرژی (کیلوانیون متر)	۵۱۹	۳۲۴
درصد کاهش جابه‌جایی پسماند	-	$60/7$
درصد کاهش جذب انرژی	-	$37/6$

جانبی دوگانه‌ی خمشی همراه مهاربند مزبور ساخته شد. با استفاده از نرم‌افزار OpenSEES همه‌ی مدل‌ها تحت بارگذاری چرخ‌های قرار گرفته و مقدار جذب انرژی و جابه‌جایی پسماند آنها محاسبه شد. حالت بهینه‌ی مهاربند در سازه‌ی ۹ طبقه‌ی مورد بررسی در این مقاله (حالتی که در عین داشتن بیشترین جذب انرژی، کمترین جابه‌جایی پسماند را داشته باشد) تعیین شد. در ادامه مقایسه‌ی بین حالت بهینه‌ی مهاربند مرکزگرا با کابل پیش‌تیزه و مهاربند کمانش تاب معمولی در سازه‌ی معروفی شده انجام شد. خلاصه‌ی از نتایج حاصل از این مطالعه، به طور مشخص برای سازه‌ی ۹ طبقه‌ی معروفی شده در این مقاله، در ادامه آرائه شده است:

۱- مهاربند با تنش تسلیم هسته ۳۶۰ مگاپاسکال، نسبت نیروی پیش‌تیزه به نیروی تسلیم کابل  $\frac{1}{3}$  و نسبت مساحت کابل به هسته ۱ به عنوان طرح بهینه‌ی شناسایی شد.

۲- با افزایش نسبت مساحت کابل به هسته از مقدار  $\frac{1}{1}$ ، از جابه‌جایی پسماند سازه کم می‌شود. با عبور از نسبت ۱، به دلیل افزایش بیش از حد نیروی پیش‌تیزه کابل، مقدار جابه‌جایی سازه افزایش می‌یابد که مطلوب طراحی نسبت.

۳- در تمام نسبت‌های پیش‌تیزه (به غیراز پیش‌تیزه  $\frac{1}{5}$ ) نسبت مساحت ۱ مقدار بهینه خواهد بود.

۴- با افزایش نسبت پیش‌تیزه، تأثیر پذیری عملکرد مهاربند از نسبت مساحت بیشتر می‌شود.

۵- مهاربند مرکزگرای بهینه می‌تواند درصد از جابه‌جایی پسماند سازه‌ی ۹ طبقه‌ی معرفی شده بکاهد در حالی که جذب انرژی آن تنها ۳۷ درصد افت می‌کند.

و مهاربند کمانش تاب مرکزگرا آورده شده و در شکل ۲۰ هر دو نمودار بر روی یک دستگاه مختصات قرار گرفته‌اند تا بتوان آنها را مقایسه کرد. مشاهده می‌شود که مهاربند مرکزگرا به خوبی توانسته است جابه‌جایی پسماند مهاربند کمانش تاب را کاهش دهد؛ ضمن آن‌که جذب انرژی مناسبی دارد. هر دو پارامتر جابه‌جایی پسماند و جذب انرژی سازه می‌توانند با توجه به اهداف طراحی اهمیت مقاویت داشته باشند. برای کاهش هزینه‌های اولیه‌ی ساخت نیاز است که جذب انرژی در سیستم اتفاق بیفتد (نباید انتظار داشت تمام اعضا کشسانی طراحی شوند و بعد از زلزله نیز کشسانی عمل کنند). در صورتی که ملاحظات اقتصادی بعد از زلزله مطرح باشد و بهره‌برداری سریع و نیز استفاده‌ی مجدد از ساختمان مدنظر باشد، باید انتظار داشت که جابه‌جایی پسماند کمی در سازه اتفاق بیفتد. هر چند که شاید نتوان این جابه‌جایی پسماند را به صفر رساند ولی می‌توان یک مقدار کمینه‌ی قابل قبولی نسبت به سایر طرح‌ها معرفی کرد.

#### ۴. نتیجه‌گیری

در این مقاله به بررسی یک نوع مهاربند کمانش تاب مرکزگرا با کابل پیش‌تیزه پرداخته شد. برای بررسی رفتار این نوع مهاربند در سازه‌ها از نظر میران جذب انرژی و میران کاهش جابه‌جایی پسماند سازه، ابتدا پارامترهای تأثیرگذار بر عملکرد مهاربند انتخاب شدند. این پارامترها شامل مقدار تنش تسلیم هسته مهاربند، نسبت نیروی پیش‌تیزه کابل به نیروی تسلیم کابل و نسبت مساحت کابل به هسته بود. برای تنش تسلیم هسته دو مقدار  $\frac{1}{4}$  و  $\frac{1}{5}$  مگاپاسکال، برای نسبت پیش‌تیزه  $\frac{1}{5}$  مقدار  $\frac{1}{1}$  تا  $\frac{1}{5}$  و برای نسبت مساحت ۷ مقدار  $\frac{1}{0}, \frac{1}{0}, \frac{1}{2}, \frac{1}{5}, \frac{1}{2}, \frac{1}{5}$  و  $\frac{1}{0}$  بی‌نهایت در نظر گرفته شد. جمیعاً تعداد ۶۲ مدل سازه‌ی ۹ طبقه با سیستم باربر

#### پابلوشت‌ها

1. self-centering systems
2. self-centering buckling-restrained brace
3. restoring mechanism
4. flag shaped
5. pre-tensioned mechanism
6. gap opening
7. restoring force
8. shape memory alloy
9. basalt fiber-reinforced polymer
10. tendon
11. strand
12. limiting plates
13. buckling restrained brace
14. restricting plates
15. end plate
16. cross plate
17. limit plates
18. anchor
19. cover plate
20. leaning column

#### منابع (References)

1. Uang, C.-M. and Nakashima, M. "Steel buckling-restrained braced frames," *Earthq. Eng. From Eng. Seismol. to Performance-based Eng*, **2002**, pp. 1-37 (2004).
2. Clark, P. W., Aiken, I.D., Kasai, K. and et al. "Large-scale testing of steel unbonded braces for energy dissipation," In *Advanced Technology in Structural Engineering*, pp. 1-5 (2000).
3. Chancellor, N., Eatherton, M. Roke, D. and et al. "Self-centering seismic lateral force resisting systems: High performance structures for the city of tomorrow," *Buildings*, **4**(3), pp. 520-548 (2014).
4. Zhu, S. and Zhang, Y. "Seismic analysis of concentrically braced frame systems with self-centering friction damping braces," *J. Struct. Eng.*, **134**(1), pp. 121-131, Jan (2008).
5. Miller, D. J., Fahnstock, L.A. and Eatherton, M.R. "Development and experimental validation of a nickel-titanium shape memory alloy self-centering buckling-

- restrained brace," *Eng. Struct.*, **40**, pp. 288-298, Jul (2012).
6. Zhou, Z., Xie, Q., Lei, X.C. and et al. "Experimental investigation of the hysteretic performance of dual-tube self-centering buckling-restrained braces with composite tendons," *J. Compos. Constr.*, **19**(6), pp. 04015011, Dec (2015).
  7. Li, R., Shu, G., Liu, Z. and et al. "Research and development of an innovative self-centering energy dissipation brace," *Struct. Des. Tall Spec. Build.*, **27**(15), pp. 1-16 (2018).
  8. Shi, F., Ozbulut, O.E. and Zhou, Y. "Influence of shape memory alloy brace design parameters on seismic performance of self-centering steel frame buildings," *Struct. Control Heal. Monit.*, **27** (1), pp. 1-18 (2020).
  9. Kari, A., Ghassemieh, M. and Badarloo, B. "Development and design of a new self-centering energy-dissipative brace for steel structures," *J. Intell. Mater. Syst. Struct.*, **30**(6), pp. 924-938, Apr (2019).
  10. Wang, H., Nie, X. and Pan, P. "Development of a self-centering buckling restrained brace using cross-anchored pre-stressed steel strands," *J. Constr. Steel Res.*, **138**, pp. 621-632, Nov (2017).
  11. Dong, H., Du, X., Han, Q. and et al. "Performance of an innovative self-centering buckling restrained brace for mitigating seismic responses of bridge structures with double-column piers," *Eng. Struct.*, **148**, pp. 47-62, Oct (2017).
  12. Xu, L. H., Xie, X. S., Yao, S. Q. and et al. "Hysteretic behavior and failure mechanism of an assembled self-centering brace," *Bull. Earthq. Eng.*, **17**(6), pp. 3573-3592 (2019).
  13. Xu, L., Yao, S. and Sun, Y. "Development and validation tests of an assembly self-centering energy dissipation brace," *Soil Dyn. Earthq. Eng.*, **116**, pp. 120-129 September 2018 (2019).
  14. Dong, H., Du, X., Han, Q. and et al. "Hysteretic performance of RC double-column bridge piers with self-centering buckling-restrained braces," *Bull. Earthq. Eng.*, **17**(6), pp. 3255-3281 (2019).
  15. Huang, H., Zhang, F., Zhang, W. and et al. "Numerical analysis of self-centering energy dissipation brace with arc steel plate for seismic resistance," *Soil Dyn. Earthq. Eng.*, **125** April, pp. 105751 (2019).
  16. ANSI/AISC 341-10, "Seismic provisions for structural steel buildings (Including supplement No. 1)," *Am. Inst. Steel Constr.*, (2005).
  17. "Iranian National Building Code, Part 10th, Design and Construction of steel buildings", 2013/1392.
  18. "Iranian Building Codes And Standards, Iranian Code Of Practice For Seismic Resistant Design Of Buildings, Standard No.2800, 4th Edition", 2013/1392.
  19. "Ministry of Housing and Urban Development, Iranian National Building Code (Part 6)," Minim. Build. Loads, (2013).
  20. ASCE, A. S. "Minimum design loads for buildings and other structures." Reston, VA (2016).